

مقاله پژوهشی

بهینه‌سازی پوشش خوراکی بر پایه نشاسته سیب‌زمینی اصلاح شده و روغن سبوس برنج و بررسی تأثیر آن بر ماندگاری انگور رقم عسگری

آذین امید جیوان^۱، مسعود تقی‌زاده^{۲*}، مسعود یاورمنش^۳

۱. دانش آموخته کارشناسی ارشد، گروه علوم و صنایع غذایی دانشکده کشاورزی، دانشگاه فردوسی مشهد

۲. دانشیار، گروه علوم و صنایع غذایی دانشکده کشاورزی، دانشگاه فردوسی مشهد

۳. دانشیار، گروه علوم و صنایع غذایی دانشکده کشاورزی، دانشگاه فردوسی مشهد

(تاریخ دریافت: ۱۳۹۹/۰۵/۰۳، تاریخ آخرین بازنگری: ۱۳۹۹/۰۶/۰۳، تاریخ پذیرش: ۱۳۹۹/۰۶/۱۵)

چکیده

استفاده از پوشش‌های خوراکی روشی برای حفظ و نگهداری میوه‌ها و محصولات کشاورزی به شمار می‌آید. پوشش‌های خوراکی با کاهش شدت تنفس میوه‌ها، ماندگاری آن‌ها را به صورت چشم‌گیری افزایش و میزان ضایعات را کاهش می‌دهند. هدف از این پژوهش، بهینه‌یابی تولید پوشش خوراکی برای نگهداری طولانی مدت «انگور» (گونه عسگری به دلیل فسادپذیری بالا و فراوانی زیاد) توسط روش سطح پاسخ (RSM) و طرح عرف بهینه می‌باشد. از غلظت‌های مختلف نشاسته سیب‌زمینی استیله شده (۳، ۵، ۷ gr و ۰.۰/۵، ۰.۱/۵ و ۰.۲ gr) و روغن سبوس برنج (۰.۱/۵ و ۰.۲/۵ rpm) تحت سرعت‌های مختلف اولتراتورکس (۷، ۱۴/۵ و ۲۲ rpm) هموزن گشتند. پارامترهای افت وزن میوه، پایداری و a_w پوشش به عنوان پاسخ‌های طرح آزمایشی در نظر گرفته شدند. تیمارها (۲۰ نمونه در ۲ تکرار) در سردخانه‌ای با دمای ۴°C و رطوبت ۷۰٪ به مدت ۲۸ روز ذخیره‌سازی شدند. پارامترهای کیفی انگور شامل TSS، TA، pH، بافت و افت وزن هر ۲ هفته مورد بررسی قرار گرفتند. همچنین میزان حبه‌های کپکزده در پایان دوره انبارداری محاسبه گردید. مدل‌های توسعه یافته مربوط به افت وزن نمونه‌ها، پایداری و a_w ژل امولسیونی پیش‌بینی کردند که بهره‌گیری از ۲٪ روغن سبوس برنج، a_w ۰.۷۷٪ نشاسته سیب‌زمینی استیله شده و سرعت هموزن کردن ۷ rpm منجر به ایجاد ژل امولسیونی با بیشترین پایداری، a_w ۰.۹۳٪ و کمترین

می‌شود.

کلید واژه‌ها: بهینه‌سازی، پوشش خوراکی، نشاسته سیب‌زمینی، روغن سبوس برنج، افت وزن و انگور.

شدن [۱۳]. محققان در زمینه‌ی پوشش‌دهی میوه‌هایی مانند توت فرنگی و انگورهای سرخ مایل به قرمز با پوشش‌های خوراکی بر پایه نشاسته، به این مهم دست یافتند که این پوشش‌ها کمترین اثر را بر پارامتر کیفی داشتند و کیفیت محصول را در طی انبارمانی بهبود بخشیدند [۱۴-۱۵]. دلیل اساسی استفاده از لیپیدها در پوشش‌های خوراکی، آب‌گریز بودن آن‌ها است که می‌توانند از افت وزن و رطوبت به نحوی پیش‌گیری نمایند [۱۶]. روغن سبوس برنج با سطوح کم کربوهیدرات در دسترس، ۰٪-۲۵٪ و سطح بالایی از چربی، ۲۰٪ می‌تواند منبع ارزشمندی از ارزی در نظر گرفته شود [۱۷]. نوع خوراکی آن یک جایگزین خوبی برای روغن‌های گیاهی محسوب می‌شود [۱۸] که استفاده از آن تأثیر به سزاگی روی حفظ و نگهداری محصولات به ویژه میوه‌ها در انبارداری سرد می‌گذارد [۱۷]. در زمینه بهره‌گیری از روغن سبوس برنج در تشکیل پوشش خوراکی برای افزایش کیفیت و بهبود پارامترهای کیفی محصولاتی مانند کیوی، گوجه‌های گیلاسی و تولید سوسیس کم‌چرب، آزمایش‌هایی صورت گرفت. نتایج حاکی از آن بود که نمونه‌های پوشش‌دهی شده با بیشینه مقدار روغن سبوس برنج، دارای افت وزن کمتر و بافتی سفت‌تر نسبت به تیمارهای بدون پوشش (شاهد) بودند [۱۹-۲۱].

میوه‌ها به دلیل داشتن مقدار زیادی مواد قندی و سایر مواد مغذی و نیز رطوبت بالا، محیط مناسبی برای رشد میکروب‌ها بوده و از طرفی پایین بودن pH در آن‌ها سبب حساسیت ویژه این دسته از محصولات به پوسیدگی‌های قارچی می‌شود [۲۲]. امروزه از پوشش‌دهی مواد غذایی به منظور کاهش سرعت فساد میکروبی توت‌فرنگی و فلفل، جلوگیری از افت وزن میوه‌هایی مانند پرتغال و سیب، به تأخیر انداختن زمان رسیدگی ابهه و گوجه‌فرنگی، به تعویق انداختن سیاه شدن گلابی و موز و افزایش جلوه ظاهری میوه‌هایی مانند انار و سیب استفاده می‌گردد [۱]. انگور با نام علمی «ویزیت وینفیریا»^۲ یک میوه مهم در ایران به شمار می‌رود و نگهداری آن به دلیل آسیب‌پذیر بودن میوه هنگام برداشت و حمل و نقل و سرداخانه گذاری که سبب ترک

استفاده از پوشش‌های خوراکی روشی مفید برای افزایش ماندگاری میوه‌ها و محصولات کشاورزی به شمار می‌آید که به وسیله‌ی آن، این گروه از مواد غذایی در بخش درونی از لایه‌ای کم ضخامت از مواد پوشش دهنده جای گرفته و بسته‌بندی می‌شوند. این لایه‌های پوششی با کاهش شدت تنفس میوه‌ها که پس از برداشت ادامه دارد، ماندگاری و نگهداری میوه‌ها را به صورت چشم‌گیری افزایش می‌دهند [۱].

نشاسته یک پلی‌ساقارید ذخیره‌ای از غلات و سبزی‌ها می‌باشد که استفاده از آن در ترکیب پوشش‌ها و فیلم‌های خوراکی بسیار رایج است چراکه ارزان، فراوان و تجدید پذیر می‌باشد و به آسانی استفاده می‌شود [۲]. از فواید استفاده از فیلم‌های بر پایه نشاسته، کاهش تبادل گاز می‌باشد که سبب به تأخیر افتادن افت رطوبت به دلیل خاصیت هیدروفیلی آن‌ها می‌شود [۳]. استفاده از نشاسته طبیعی ممکن است سبب برخی مشکلات مانند کاهش پایداری در طی نگهداری، ایجاد بافت نامناسب و کمبود مقاومت ژل شود. بدین منظور، از روش‌های مختلفی برای اصلاح آن استفاده می‌شود [۴]. نشاسته استیله شده نوعی از اصلاح شیمیایی است که گروههای استیل در طول ستون فقرات پلیمری^۱ [۵-۸] (روی مونومرهای گلوكز- کربن ۲، ۳، ۶) قرار می‌گيرند. این نوع نشاسته دمای ژلاتینه شدن را کاهش و شفافیت، ویسکوزیته و ثبات انجماد را افزایش می‌دهد [۵-۸]. سیب‌زمینی چهارمین محصول غذایی مهم در جهان پس از گندم، برنج و ذرت محسوب می‌شود [۱۰] که نشاسته ۲۰-۱۵٪ آن را تشکیل می‌دهد [۱۱]. یکی از ویژگی‌هایی که برای نشاسته‌های سیب‌زمینی بسیار ارزشمند است، ظرفیت آن‌ها برای تشکیل ژل‌های شفاف در زمانی که ژلاتینه شدن اتفاق می‌افتد، می‌باشد [۱۲]. طبق مقاله‌ای که در زمینه‌ی نحوه اثرگذاری انواع نشاسته (سیب‌زمینی، گندم و ذرت) بر خواص فیزیکوشیمیایی فیلم‌های خوراکی انجام شد، فیلم‌های بر پایه نشاسته سیب‌زمینی دارای شفافیت بیشتر و بافتی همگن‌تر بودند و مانع بزرگ‌تری در برابر اکسیژن و بخار آب محسوب

2. *Vitis vinifera*

1. Polymetric Spine

آزمایشی محسوب می‌شود لذا پوشش‌دهی خوش‌ها همزمان با انتخاب بهترین ترکیب پوشش صورت گرفت.

۲.۲. فرمولاسیون پوشش‌ها

ابتدا با استفاده از روش سطح پاسخ و طرح عرف بهینه، نسلهای ترکیبات ژل امولسیونی (نشاسته سیب‌زمینی استیله شده و روغن سبوس برنج) تعیین و سپس در نسبت‌های تعیین شده مخلوط شدند (در حمام آب گرم تحت دمای ۹۰ °C به مدت ۵ min) [۲۴]. پس از خنک شدن با افزودن ۲٪ توئین ۸۰ به عنوان امولسیفایر تحت سرعت‌های مختلف اولتراتورکس به مدل تی ۲۵ دیجیتال^۲ (برحسب ۷–۲۲ rpm) و به مدت ۵ min همگن گشتند [۲۵].

۳. پوشش‌دهی خوش‌های انگور

خوش‌های انگور (هر تیمار شامل یک خوش) در دمای ۲۰ °C و به روش غوطه‌وری به مدت ۱ min پوشش داده شده و پس از خشک شدن در هوای اتاق به مدت ۵ min بر سطح میوه، در ظروف یک بار مصرف بدون درب قرار داده و در کنار گروه شاهد (بدون پوشش) تحت شرایط مشابه [۱۹] (دمای ۰ °C و رطوبت ۷۰٪) به مدت ۴ هفته در سردخانه نگهداری شدند. همچنین هر ۲ هفته، pH، TA^۳، TSS^۴، بافت و افت وزن نمونه‌ها مورد آنالیز قرار گرفتند [۲۶]. همچنین در پایان دوره‌ی انبارمانی درصد فساد جبهه‌ای انگور محاسبه گردید.

۴. آزمون‌ها

۴.۱. آزمون فیزیکی

۴.۱.۱. اندازه‌گیری پایداری ژل امولسیونی

جهت اندازه‌گیری پایداری ژل امولسیونی، مقدار مشخصی از ژل داخل فالکون ریخته شد و به مدت ۳۰ min در دمای ۲۵ °C با دور ۳۶۰۰ rpm سانتریفیوژ به مدل دی ۷۲ گردید. فاز جدا شده با وارونه کردن فالکون بر روی کاغذ صافی از ظرف خارج شد. بر اساس نسبت وزن ثانویه فالکون

خوردن پوسته جبه و فراهم شدن محیط مناسب برای تغذیه و حمله عوامل فساد به میوه می‌شود، مشکل می‌باشد [۲۲].

در این پژوهش، با بهره‌گیری از پوشش خوراکی حاوی نشاسته سیب‌زمینی استیله شده و روغن سبوس برنج، ماندگاری میوه انگور، در مدت ۴ هفته از طریق اندازه‌گیری پارامترهای کیفی آن مورد بررسی قرار گرفت.

۲. مواد و روش‌ها

۲.۱. مواد

خوش‌های انگور، رقم عسگری- دارای پوست ضخیم می‌باشد که طعمی بسیار شیرین و قابلیت انبارمانی بالایی دارد و در اواخر تیر ماه برداشت می‌شود- از شهرستان کاشمر تهیه و بلافضله جهت رسیدن به دمای مطلوب به سردخانه انتقال یافتند. قبل از شروع آزمایش‌ها، جبهه‌ای خراب جداسازی و خوش‌ها با آب مقطر شسته شده و قطرات آب باقی‌مانده از شستشو در شرایط آزمایشگاهی خشک گردیدند. همچنین جبهه‌ها از نظر اندازه و رنگ و شکلی یکنواخت جداسازی شدند.

نشاسته سیب‌زمینی استیله شده (۰/۲۵) از شرکت ارشا پویه (تهران)- تحت نظارت کشور دانمارک- خریداری گشت. روغن سبوس برنج تصفیه شده از نمایندگی شرکت روغن سمن (واقع در خراسان رضوی- مشهد) با درصد خلوص ۹۹/۹۹ فراهم شد.

از روش سطح پاسخ و طرح عرف بهینه^۱ (به دلیل متفاوت بودن سطوح ترکیبات سازنده پوشش) با ۲۰ تیمار و ۲ تکرار تحت ۳ متغیر مستقل شامل نشاسته سیب‌زمینی استیله شده در ۳ سطح (۳، ۵ و gr ۷)، روغن سبوس برنج در ۵ سطح (۰، ۰/۵، ۱، ۱/۵ و ۲ gr) و سرعت هموزن کردن در ۳ سطح (۷، ۱۴/۵ و ۲۲ rpm) جهت بهینه‌یابی بهره گرفته شد. پارامترهای افت وزن (درصد)، پایداری (درصد) و a_w (درصد) به عنوان پاسخ‌های آزمایش برای بررسی اثر سطوح مختلف تیمارها بر آن‌ها، در نظر گرفته شدند. به دلیل اینکه افت وزن میوه حامل پوشش خوراکی یکی از پاسخ‌های اصلی طرح

2. IKA, Model T25 digital. ULTRA- TURRAX. Made in Germany

3. Total soluble solids

4. Total acidity

5. Model D72 . Made in Germany

1. Optimal Custom

معرف فنل فتالئین تیتر شد [۱۹]. نتایج بر حسب گرم اسید تارتاریک (اسید غالب انگور) در ۱۰۰ gr بیان شدند. محاسبه میزان اسیدیته به صورت نسبت حاصل ضرب ۱۰۰/۰۰۷۵ و میزان سود مصرفی بر حسب میلی‌متر (N) به میزان حجم مصرفی از عصاره‌ی میوه (S) صورت گرفت [۳۱]:

$$TA = \frac{100 \times 0.0075 \times N}{S} \quad (4)$$

۴.۲.۴.۲. تعیین pH

برای این منظور، pH عصاره صاف شده آب‌میوه با دستگاه pH متر به مدل سی‌پی ۴۱۱ اندازه‌گیری شد [۳۲].

۵.۲.۴.۲. بافت

جهت ارزیابی تغییرات بافتی جبهه‌ای انگور پوشش‌دهی شده از دستگاه بافت سنج به مدل سی‌تی ۳ و آزمون سوراخ کردن بهره گرفته شد. پروب استوانه‌ای شکل به قطر ۱ mm و با سرعت ۵۰ mm/min تا عمق ۵ mm به درون بافت نمونه نفوذ کرد [۳۳]. پارامترهای مورد اندازه‌گیری: سختی^۶ (حداکثر نیرو برای تغییر شکل مورد نظر)^۷ و کار سختی^۸ (انرژی لازم جهت رسیدن به اولین تغییر شکل مورد نظر یا همان مساحت سطح زیر منحنی نیرو-تغییر شکل) می‌باشد [۳۴].

۶.۲.۴.۲. درصد فساد

درصد خرابی به صورت مشاهده‌ای ارزیابی شد. با مشاهده گستردگی میسل‌های کپک روی انگور و ایجاد لکه‌های قهقهه‌ای و خاکستری در سطح، جبهه فاسد حذف شد. درصد فساد به صورت نسبت میزان جبهه‌ای خراب به کل جبهه‌ای موجود ضرب در ۱۰۰ محاسبه گردید [۳۵].

$$\left(\frac{\text{میزان جبهه‌ای خراب}}{\text{میزان جبهه‌ای موجود}} \right) \times 100 = \text{درصد فساد} \quad (5)$$

۵. طرح آماری

جهت بررسی نتایج و تعیین شرایط بهینه تولید پوشش

محتوی ژل امولسیونی به وزن اولیه آن ضرب در ۱۰۰، درصد پایداری محاسبه گشت [۲۷]:

$$\text{وزن ژل اولسیونی باقی مانده} = \text{درصد پایداری ژل امولسیونی} \times 100 \quad (1)$$

۲.۱.۴.۲. اندازه‌گیری فعالیت آبی ژل امولسیونی

جهت اندازه‌گیری فعالیت آبی از دستگاه سنجش فعالیت آبی به مدل هیدرولب^۹ استفاده شد. بدین صورت که در دمای ۲۰ °C وزن‌های مساوی از هر نمونه پوشش در دستگاه ریخته شده و پس از برقراری تعادل، بر اساس نسبت رطوبت نسبی تعادلی به ۱۰۰، میزان فعالیت آبی محاسبه گردید [۲۸].

$$\frac{\text{رطوبت نسبی تعادلی}}{100} = \text{فعالیت آبی} \quad (2)$$

۲.۴.۲. آزمون شیمیایی

۱.۲.۴.۲. افت وزن

جهت اندازه‌گیری افت وزن، نمونه‌ها هر دو هفته یک بار، با ترازوی دیجیتالی با دقت ۰.۰۰۱ ± با مدل جی‌تی ۲۱۰۰ توزین و کاهش وزن آن‌ها از طریق نسبت اختلاف وزن اولیه و ثانیه خوش به وزن اولیه آن، به صورت درصد تعیین و گزارش گردید [۲۹].

$$\frac{(\text{وزن ثانیه}-\text{وزن اولیه})}{(\text{وزن اولیه})} \times 100 = \text{افت وزن} \quad (3)$$

۲.۲.۴.۲. تعیین مواد جامد محلول کل (TSS)

برای مقایسه TSS میوه‌های پوشش‌دار و شاهد، کل مواد جامد موجود در میوه‌ها بعد از کالیبره کردن دستگاه رفراکتومتر به مدل پال^{۱۰} با آب مقطر و در دمای اتاق در ۳ تکرار اندازه‌گیری و به صورت درصد گزارش شد [۱۹].

۳.۲.۴.۲. تعیین اسیدیته کل (TA)

درصد اسیدیته میوه از طریق تیترکردن با سود N ۰/۱ تا رسیدن به ۸/۱ pH ۴۱۱ اندازه‌گیری می‌شود [۳۰]. آب انگور صاف شده در ۹۵ ml آب مقطر [۳۱] و در حضور

4. Model CP-411. Made in England

5. Model CT-3. Made in USA

6. Hardness

7. Target deformation

8. Hardness work

1. Model HYDROLAB-3. Made in Switzerland

2. Model 2100GT. Made in USA

3. Model PAL-3. Made in USA

۳. نتایج و بحث

۱.۳. بهینه‌سازی پوشش خوارکی

با توجه به نتایج حاصل شده، کمینه میزان افت وزن، پایداری و a_w به ترتیب ۰/۴۴٪ (نمونه ۱۹)، ۰/۶۶٪ (نمونه ۶) و ۰/۷۷٪ (نمونه ۶) و بیشینه میزان پاسخ‌های بالا به ترتیب ۰/۱۸٪ (نمونه ۳)، ۰/۹۳٪ (نمونه ۲) و ۰/۰۹٪ (نمونه ۵) محاسبه شد (جدول ۱).

خوارکی بر پایه نشاسته سیب‌زمینی استیله شده و روغن سبوس برنج و نیز مشاهده تأثیر سطوح مختلف ترکیبات سازنده پوشش خوارکی بر میزان پارامترهای pH، TA، TSS، بافت انگور در طی نگهداری از نرم‌افزار دیزاین اکسپریت^۱ بهره گرفته شد. همچنین از نرم‌افزار اکسل^۲ و دیزاین اکسپریت جهت مقایسه نتایج مربوط به تغییرات پارامترهای کیفی ذکر شده خوش‌های انگور استفاده گردید.

جدول (۱) نتایج حاصل از تهیه ژل امولسیونی.

Table 1. The results of the preparation of Emulsion gel.

درصد افت وزن Weight loss %	درصد پایداری % Stability	درصد ^a (%)	سرعت هموزن کردن (دور بر دقیقه) Homogenize speed (rpm)	روغن سبوس برنج (گرم) Rice Bran Oil (gr)	نشاسته سیب‌زمینی استیله شده (گرم) Acetylated Potato Starch (gr)	مشاهدات Observations
5.44	88.6	0.8	14.5	1	7	1
4.94	93.6	0.81	22	2	7	2
18.21	76.75	0.84	22	0	7	3
5.9	91.94	0.86	14.5	1	7	4
6.17	91.46	0.9	7	0	7	5
6.83	66.52	0.77	7	2	7	6
5.67	74.29	0.83	22	0	7	7
5.11	72.25	0.81	7	0.5	7	8
5.17	80.26	0.82	7	0	3	9
2.47	78.73	0.78	22	2	3	10
5.11	91.85	0.89	22	0	7	11
4.5	89.61	0.86	7	1	7	12
6.1	76.26	0.79	14.5	1.5	3	13
6.3	69.52	0.81	14.5	0.5	3	14
4.3	86.15	0.83	22	1	5	15
5.046	76.56	0.81	14.5	0.5	3	16
4.054	84.54	0.78	14.5	2	5	17
4.52	80.21	0.82	14.5	0	5	18
2.44	90.69	0.79	7	2	7	19
4.2	84.34	0.80	22	1	5	20

1. Design-Expert (10.0.3.0-x64-Softcozar.com.msi)
2. Excel (Microsoft Excel 2013(15.0.4569.1504)

مقدار ۱۵٪ P برای مدل مربوط به میزان افت وزن نمونه انگور در مرحله بهینه‌سازی پوشش (جدول ۲) تطابق آن با داده‌های آزمایشی را بیان می‌کند. از طرفی مقدار عددی ضریب تبیین برای افت وزن $R^2 = 0.77$ بود؛ بنابراین این نتیجه حاصل می‌شود که مدل رگرسیونی توانسته رابطه بین متغیرهای مستقل (نشاسته سیب‌زمینی استیله شده، روغن سبوس برنج و سرعت هموژن کردن) و وابسته (افت وزن) را

به خوبی پیش‌بینی کند. با توجه به جدول ۲، غلظت APS^۱ و اثر درجه دو آن، همچنین اثرات متقابل APS و RBO^۲ بر افت وزن معنادار بوده ولی غلظت $X_1 X_2$ بر این متغیر تأثیرگذار نیست. معادله رگرسیونی خطی مرتبه دو، برای تخمین اثرات متغیرهای مستقل بر متغیر وابسته به صورت معادله (۶) نمایش داده شد:

$$Y_1 = +10.03724 - 2.24489X_1 + 1.51171X_2 - 0.30214X_1 X_2 + 0.23290X_1^2 \quad (6)$$

جدول (۲) نتایج آنالیز واریانس برای معادله درجه دو مربوط به افت وزن.

Table 2. ANOVA results for the quadratic equation for weight loss.

P	F	میانگین مربعات Mean Square	مجموع مربعات Sum of squares	درجه آزادی Degree of freedom	ضرایب رگرسیون Regression coefficients	متغیرهای Variables
0.0052 **	12.07	2.02	2.02	1	-0.44	نشاسته سیب‌زمینی استیله شده (APS) X_1
0.9945 ns	4.899E-005	8.203E -006	8.203E -006	1	+9.906E -004	روغن سبوس برنج X_2
0.0042 **	12.96	2.17	2.17	1	+0.93	$X_1 X_2$
0.0021 **	15.91	2.66	2.66			X_1^2
0.0015 **	9.39	1.57	6.29	4	-	مدل (Model)
-	-	0.17	1.84	11	-	باقي‌مانده (Residual)
0.8695 ns	0.39	0.12	0.94	8	-	فقدان برآش (Lack of fit)
-	-	0.30	0.90	3	-	خطای خالص (Pure Error)
-	-	-	10.52	16	-	کل (Total)

$$R^2=0.77, R^2_{adj} = 0.69$$

نتایج آنالیز واریانس برای معادله خطی مربوط به پایداری در جدول (۳) نمایش داده شده است. مقدار ۱٪ P به دست آمده برای مدل حاکی از تطابق آن با داده‌های آزمایشی است که مقدار بالای $R^2 = 0.92$ نشان از قدرت خوب مدل برای

(APS) کاملاً مشهود است و تأثیرگذاری بسیار آن را بر پایداری ژل امولسیونی بیان می‌کند. معادله خطی برای تخمین اثر متغیر مستقل بر پایداری در معادله (۷) آمده است:

نتایج آنالیز واریانس برای معادله خطی مربوط به پایداری در جدول (۳) نمایش داده شده است. مقدار ۱٪ P به دست آمده برای مدل حاکی از تطابق آن با داده‌های آزمایشی است که مقدار بالای $R^2 = 0.92$ نشان از قدرت خوب مدل برای پیش‌بینی روابط بین متغیرها می‌باشد. معناداری غلظت X_1

$$Y_2 = +65.77187 + 3.46706X_1 + 0.75566X_2 + 0.019376X_3 \quad (7)$$

جدول (۳) نتایج آنالیز واریانس برای معادله خطی مربوط به پایداری.

Table 3. ANOVA results for linear equation related to stability.

P	F	میانگین مربعات Mean Square	مجموع مربعات Sum of squares	درجه آزادی Degree of freedom	ضرایب رگرسیون Regression coefficients	متغیرها Variables
<0.0001 ***	135.18	552.65	552.65	1	+6.93	(APS) نشاسته سبزمنی استیله شده X_1
0.2697 ns	1.34	5.48	5.48	1	+0.76	(RBO) روغن سبوس برنج X_2
0.8281 ns	0.049	0.20	0.20	1	+0.15	(Stirring speed) سرعت همزدن X_3
<0.0001 ***	52.22	213.48	640.45	3	-	(Model) مدل
-	-	3.93	49.06	12	-	(Residual) باقیمانده
0.4714 ns	1.26	4.07	38.82	9	-	(Lack of fit) فقدان برازش
-	-	3.41	10.24	3	-	(Pure Error) خطای خالص
-	-	-	689.51	16	-	(Total) کل

$$R^2=0.92, R^2_{adj}=0.91$$

تأثیرگذاری زیاد غلظت‌های X_1 و X_2 ($P < 0.0001$) بر مقادیر فعالیت آبی (a_w) ژل امولسیونی به دست آمد. معادله خطی اثرگذاری متغیرهای مستقل بر میزان متغیر وابسته به شکل معادله (۸) نوشته شد:

جدول (۴) بیانگر تجزیه و تحلیل واریانس معادله خطی a_w (متغیر وابسته) می‌باشد. $R^2=0.82$ برای مدل، همچنان آن با داده‌ها را توجیه می‌کند. $R^2=0.78$ نیز توان پیش‌بینی مدل در راستای رابطه بین متغیرها را تأیید می‌کند. همچنین

$$Y_3 = +0.77958 + 0.013048X_1 - 0.031816X_2 + 5.15494E - 004 X_3 \quad (8)$$

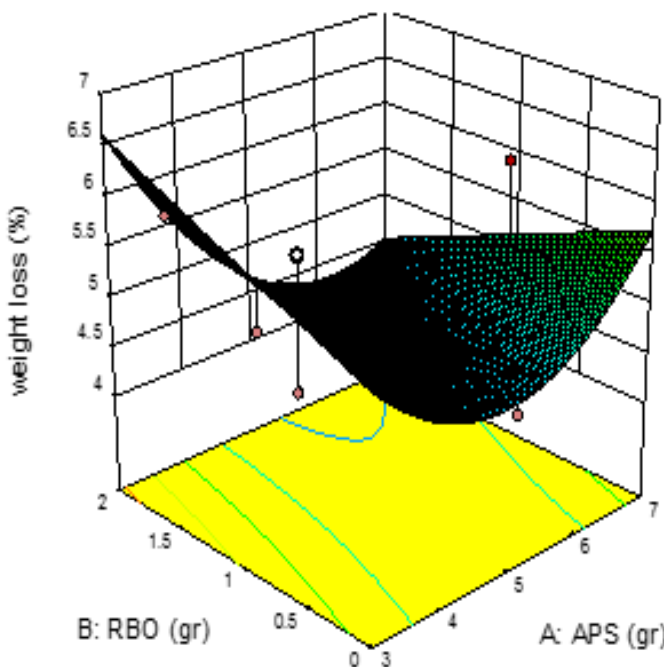
جدول (۴) نتایج آنالیز واریانس برای معادله خطی مربوط به a_w .Table 4. ANOVA results for linear equation related to a_w .

P	F	میانگین مربعات Mean Square	مجموع مربعات Sum of squares	درجه آزادی Degree of freedom	ضرایب رگرسیون Regression coefficients	متغیرها Variables
<0.0001 ***	30.41	8.950E-003	8.950E-003	1	+0.026	(APS) نشاسته سبزمنی استیله شده X_1
<0.0001 ***	39.96	0.012	0.012	1	-0.032	(RBO) روغن سبوس برنج X_2
0.4371 ns	0.64	1.883E-004	1.883E-004	1	+3.866E- 003	(Stirring speed) سرعت همزدن X_3
<0.0001 ***	21.95	6.354E-003	0.019	3	-	(Model) مدل
-	-	2.943E-003	4.120E-003	14	-	(Residual) باقیمانده
0.3142 ns	1.97	3.291E-004	3.620E-003	11	-	(Lack of fit) فقدان برازش
-	-	1.667E-004	5.000E-004	3	-	(Pure Error) خطای خالص
-	-	-	0.023	18	-	(Total) کل

$$R^2=0.82, R^2_{adj}=0.78$$

میوه طی انبارمانی، وزن آن کاهش یافت اما در ادامه نگهداری محصول، محیط با اعمال رطوبت خود، روند کاهش وزن انگور را کند کرد و حتی سبب افزایش وزن نمونه نیز گشت. همچنین افزایش غلظت RBO، تأثیر معناداری بر میزان افت وزن گذاشت به طوری که کمترین درصد افت وزن را در غلظت‌های بالای دو متغیر مستقل مشاهده شد. پس روغن سبوس برنج به خوبی توانسته با ممانعت از عبور رطوبت، از افت آن طی انبارمانی جلوگیری نماید.

۲.۳ اثر سطوح مختلف نشاسته سیب‌زمینی استیله شده و روغن سبوس برنج بر میزان افت وزن
برای نمایش تغییرات میزان افت وزن با متغیرهای مستقل (نشاسته سیب‌زمینی استیله شده و روغن سبوس برنج)، منحنی سطح پاسخ سه بعدی ترسیم شد (شکل ۱). همان‌طور که مشهود است با افزایش غلظت APS، افت وزن ابتدا افزایش و سپس روند نزولی پیدا کرد. این اختلاف نتیجه را می‌توان این‌گونه توجیه کرد که به دلیل افت رطوبت ذاتی



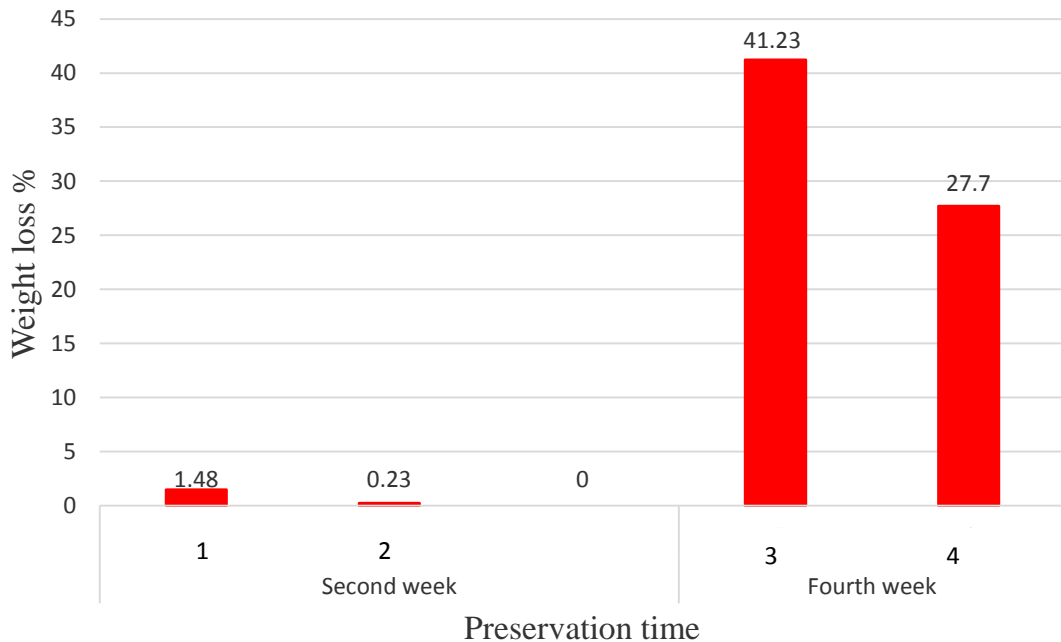
شکل (۱) اثر سطوح مختلف نشاسته سیب‌زمینی استیله شده و روغن سبوس برنج بر میزان درصد افت وزن خوشها
Fig 1. The effect of different levels of Acetylated Potato Starch and Rice Bran Oil on the weight loss of the clusters

گردید که سوسیس‌های حاوی این ژل از لحاظ افت پخت، اختلاف معناداری با نمونه شاهد داشتند به گونه‌ای که با افزایش درصد این ژل، افت پخت کاهش پیدا کرد [۲۱]. نتایج بالا با گزارشی در زمینه پوشش‌دهی لیمو و فلفل با واکس سبوس برنج مطابقت دارد [۳۷].

تغییرات افت وزن طی نگهداری بین نمونه بدون پوشش (شاهد) و نمونه با پوشش بهینه در شکل (۲)، نشان می‌دهد که افت وزن خوشها شاهد به صورت معناداری بیشتر از نمونه‌های پوشش داده شده با ژل امولسیونی بهینه است. این

پوشش‌های خوراکی که با ایجاد غشاوی نیمه‌تراوا مانع در برابر گازها و بخار آب محسوب می‌شوند، سبب کاهش تنفس و افت رطوبت می‌گردند [۳۶]. در پژوهشی مبتنی بر بررسی میزان افت وزن میوه‌های کیوی پوشش داده شده با ترکیب پروتئین آب پنیر و روغن سبوس برنج، نتایج نشان داد که بعد از ۴ هفته نگهداری در دمای ۸ °C بیشترین میزان افت وزن در میوه‌های شاهد وجود داشت [۱۹]. در راستای تأثیر درصدهای مختلف جایگزینی ژل امولسیونی مشتمل بر اینولین و روغن سبوس برنج بر افت پخت سوسیس مشخص

نتیجه، کارآمدی پوشش دهی میوه و رسیدن به هدف این آزمایش که همان کاهش افت وزن خوشها پس از انبارمانی و ماندگاری آنها می باشد را می رساند.



شکل (۲) مقایسه افت وزن بین نمونه شاهد و نمونه حاوی پوشش بهینه:

هفته دوم نگهداری: (۱) شاهد- بدون پوشش، (۲) پوشش بهینه؛ هفته چهارم نگهداری: (۳) شاهد- بدون پوشش، (۴) پوشش بهینه.

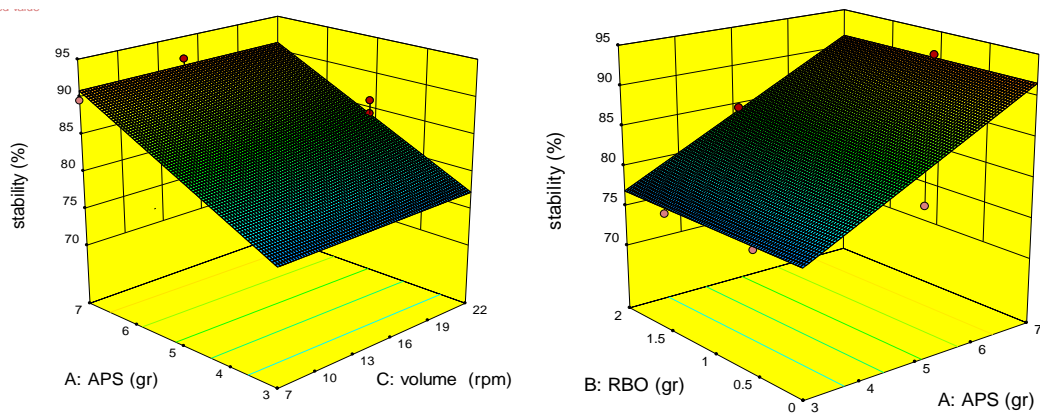
Fig 2. Comparison of weight loss between control and containing optimum edible samples:

The second week of preservation: Control- optimum edible (1), optimum edible (2); The fourth week of preservation: Control- optimum edible (3), optimum edible (4).

می باشد. محققان در پژوهشی به این نتیجه رسیدند که هیدروکلرئیدها اصولاً مولکول های آب دوستی هستند که با حضورشان از طریق افزایش فاز آبی پیوسته اطراف قطرات فاز پراکنده و تثبیت آنها در شبکه ژل مانند، سرعت خامه ای شدن را کاهش و در نتیجه پایداری امولسیون را افزایش می دهند [۳۸]. در تعمیم بحث بالا، در پوشش دهی سوسیس، این نتیجه حاصل شد که با افزایش میزان اینولین به عنوان یک هیدروکلرئید، پایداری ژل امولسیونی افزایش یافت. در مقادیر بالای این ماده، اتصالات پلیمرهای آن با یکدیگر افزایش پیدا کرده و در نتیجه شبکه کریستالی الاستیک و مستحکمی را ایجاد می کند که از وقوع پدیده خامه ای شدن جلوگیری می کند بدین ترتیب پایداری و استحکام ژل امولسیونی افزایش می یابد [۲۱].

۳.۳. اثر سطوح مختلف نشاسته سیب زمینی استیله شده، روغن سبوس برنج و سرعت هم زدن بر میزان پایداری ژل امولسیونی

شکل (۳)، تأثیر سطوح مختلف نشاسته سیب زمینی، روغن سبوس برنج و سرعت هم زدن را بر میزان پایداری ژل امولسیونی نمایش می دهد. بر طبق این شکل، با افزایش غلظت APS، پایداری، روند صعودی را به صورت خطی طی کرد و بیشترین پایداری در بالاترین سطح نشاسته سیب زمینی استیله شده به دست آمد؛ اما در هیچ کدام از مقادیر RBO و Volume (سرعت همگن سازی) تغییری در پایداری ژل امولسیونی مشاهده نشد. دلیل آن می تواند استحکام هرچه بیشتر ژل به دلیل پر کردن بیشینه فضاهای خالی بین دو فاز پیوسته و پراکنده و اختلاط بیشتر و بهتر آنها باشد که عامل ژل کننده پارامتر مؤثر این جریان



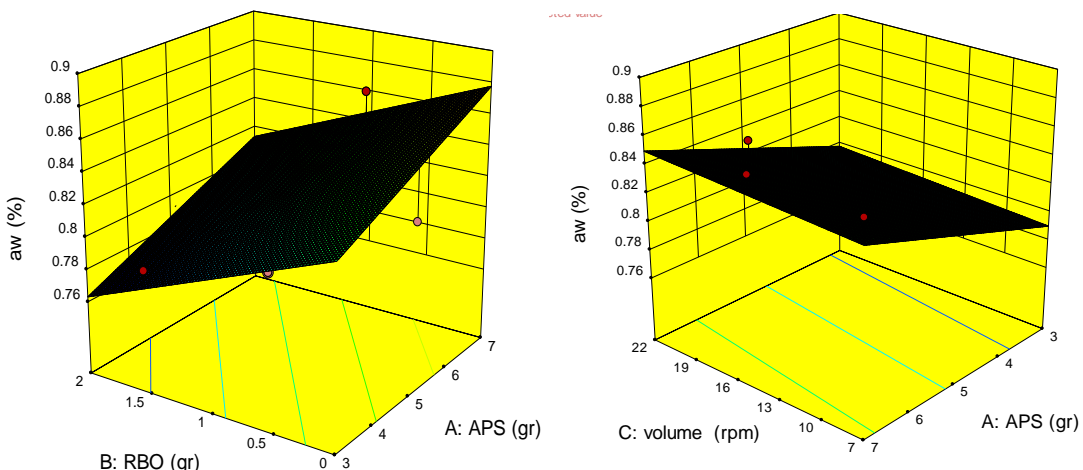
شکل (۳) اثر سطوح مختلف نشاسته سیب‌زمینی استیله شده، روغن سبوس برنج و سرعت هم‌زدن بر میزان پایداری ژل امولسیونی

Fig 3. The effect of different levels of Acetylated Potato Starch, Rice Bran Oil and the Speed of stirring on the stability of the emulsion gel

معکوسی به دست آمد؛ بدین گونه که با افزایش سطح آن، فعالیت آبی ژل امولسیونی افزایش یافت. روش‌هایی نظری خشک‌کردن نشاسته به مدت ۳ روز در دمای 60°C اصلاحات شیمیایی یا فیزیکی دیگر و استفاده از ترکیبات خوراکی دیگر (پلاستی‌سایزرهاي چون روغن‌های خوراکی، سوربیتول، گلیسرول، گزیلتول و...) که بدون تأثیرگذاری بر طعم محصول، سبب ماندگاری بیشتر و کاهش a_w به میزان مطلوب (کمتر از 0.08% می‌شوند، می‌توان استفاده کرد. همچنین سطوح مختلف X_3 ، هیچ‌گونه تأثیری بر میزان فعالیت آبی ژل نداشتند.

۴.۳. اثر سطوح مختلف نشاسته سیب‌زمینی استیله شده، روغن سبوس برنج و سرعت هم‌زدن بر میزان ژل امولسیونی

شکل (۴)، تأثیر سطوح مختلف نشاسته سیب‌زمینی استیله شده، روغن سبوس برنج و سرعت هم‌زدن بر فعالیت آبی را به وضوح نشان می‌دهد. افزایش غلظت هر دو متغیر نشاسته سیب‌زمینی استیله شده و روغن سبوس برنج، تأثیر بسیار معناداری ($P<0.0001$) بر تغییرات پارامتر فعالیت آبی داشته است؛ چشم‌گیری اثر تا حدی است که بیشترین و کمترین 3 gr را به ترتیب در کمترین، 0° و بیشترین مقدار، 22 rpm حاصل شد اما در مورد APS، به طور محسوسی نتایج



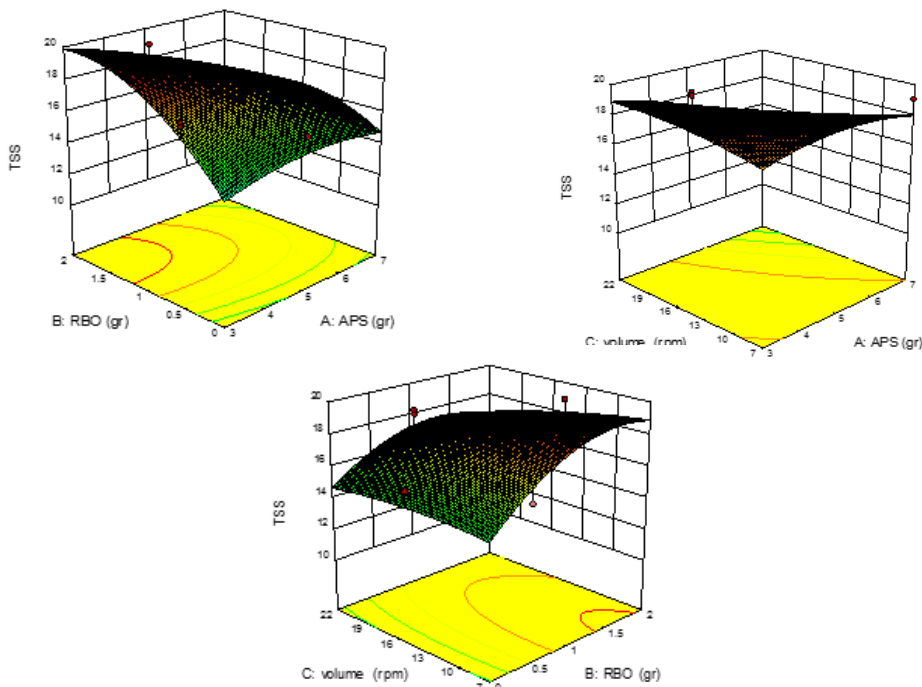
شکل (۴) اثر سطوح مختلف نشاسته سیب‌زمینی استیله شده، روغن سبوس برنج و سرعت هم‌زدن بر میزان a_w ژل امولسیونی

Fig 4. The effect of different levels of Acetylated Potato Starch, Rice Bran Oil and the Speed of stirring on the amount of a_w emulsion gel

قندها و بخش کوچکی از آن نیز شامل اسیدهای آمینه، اسیدهای آلی، ویتامین‌ها و مواد معدنی می‌باشد. میزان مواد جامد محلول با رسیدن میوه افزایش می‌یابد [۱۹]. همان‌طورکه در شکل (۵) نشان داده شده است، در هفته دوم نگهداری، بیشترین TSS در بیشینه غلظت روغن، به دست آمد. همچنین با افزایش سرعت هم زدن (Volume) (Volume) و APS، این پارامتر با شیب کمی کاهش یافت و بیشینه مقدار آن در gr ۳ نشاسته مشاهده شد. افزایش مواد جامد قابل حل در طول مدت انبارمانی، به دلیل افت رطوبت محصول و تجزیه قندهای مرکب به قندهای ساده اتفاق می‌افتد. در پایان دوره‌ی دوم نگهداری خوش‌های، افزایش سطوح نشاسته باعث کاهش TSS با شیب زیادی شد؛ اما اثر پارامتر RBO تغییری نکرد. در این دوره، فاکتور سرعت همگن‌سازی اثر عکسی از خود نشان داد به طوری که بیشینه مواد جامد محلول در ۲۲ rpm حاصل شد (شکل ۶). این تفاوت تغییرات بریکس در دو دوره‌ی نگهداری را می‌توان به تغییرات رطوبتی در میوه انگور نسبت داد.

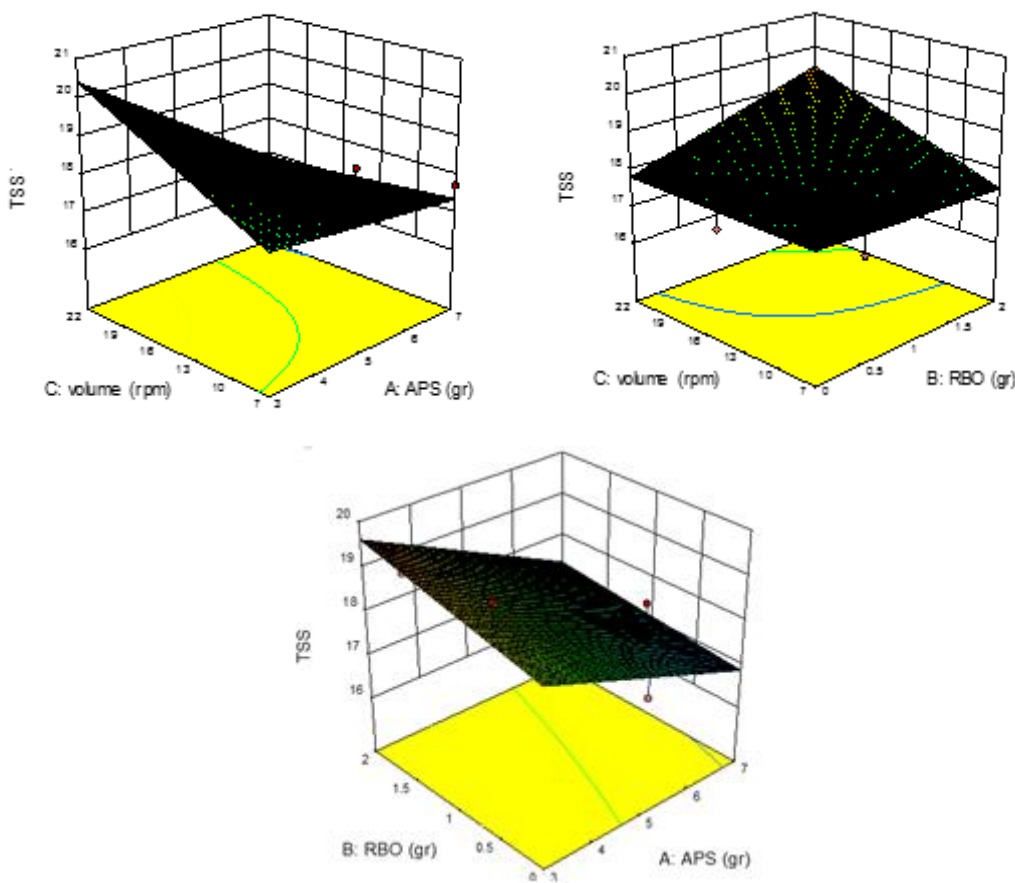
فیلم‌های بر پایه نشاسته در ترکیب با یک نانولایه لیپیدی (روغن آفتتاب‌گردان) منجر به افزایش استحکام کششی، کاهش ضرایب انتشار آب و فعالیت آبی می‌شوند [۳۹]. از آنجا که این فیلم‌ها به رطوبت حساس هستند با افزودن روغن‌ها، می‌توان از محتوای آبی کاسته شود [۴۰]. با توجه به مطالب بالا، می‌توان نتیجه گرفت که با افزایش سطح مصرفی روغن سبوس برنج به عنوان پلاستی‌سایزر در ترکیب پوشش خوراکی، محتوای آبی مطلوبی (کمتر از ۰/۰۸٪) برای ژل امولسیونی ایجاد خواهد شد. مدل‌های توسعه یافته مربوط به افت وزن نمونه‌ها، پایداری و a_w ژل امولسیونی پیش‌بینی کردند که بهره‌گیری از ۰/۲٪ روغن سبوس برنج، ۷/۶٪ نشاسته سبب زیمنی استیله شده و سرعت هموزن کردن ۷rpm، منجر به ایجاد ژل امولسیونی با بیشترین پایداری و کمترین a_w می‌شود.

۵.۳. تأثیر پوشش خوراکی بر میزان TSS در رصد قابل توجه‌های از مواد جامد قابل حل در میوه حاوی



شکل (۵) اثر سطوح مختلف APS، RBO و Volume بر پارامتر TSS در هفته دوم نگهداری

Fig 5. The effect of different levels of APS, RBO and Volume on the TSS parameter in the second week of preservation



شکل (۶) اثر سطوح مختلف APS، RBO و Volume بر پارامتر TSS در هفته چهارم نگهداری.

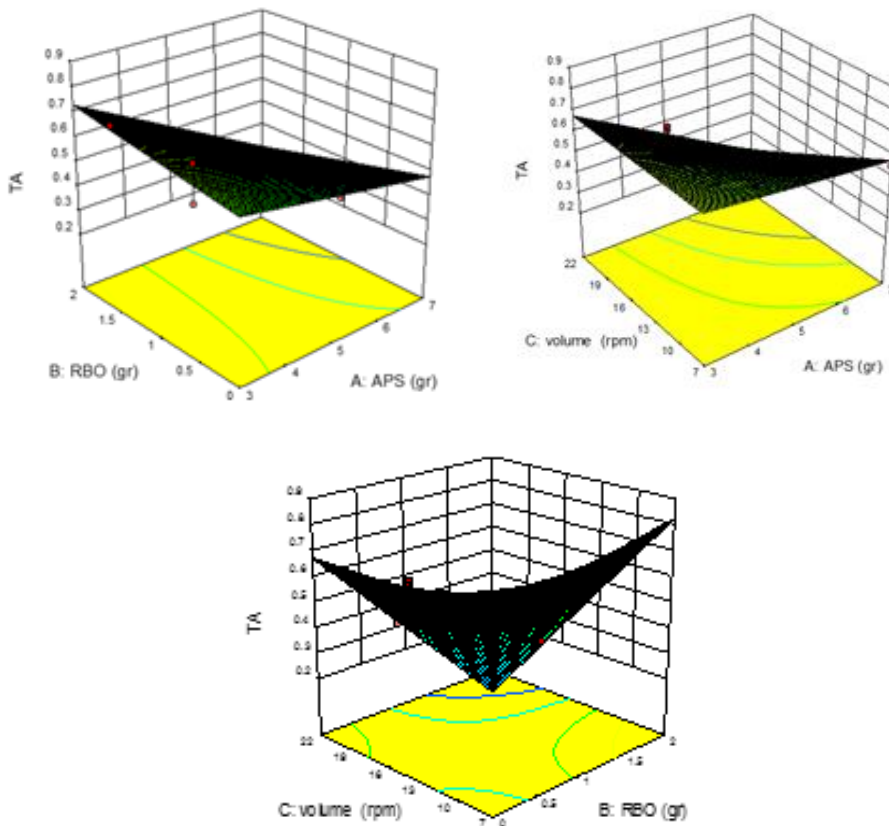
Fig 6. The effect of different levels of APS, RBO and Volume on the TSS parameter in the Fourth week of preservation.

کاهش می‌یابد و طعم ترش در محصول کم می‌شود. میزان این اسیدها در دوره‌ی برداشت، به محتوای مواد جامد محلول و سرعت تجزیه اسیدها بستگی دارد [۱۹].

شکل (۷)، نشان می‌دهد که با افزایش غلظت نشاسته و سرعت همگن‌سازی، اسیدیته کاهش یافت و بیشترین میزان در پایین‌ترین سطوح این دو متغیر، ۳ gr و ۷ rpm TA دست آمد؛ اما در هفته چهارم انبارمانی، نتایج متفاوتی رقم خورد به طوری که با افزایش APS و Volume، روند صعودی را برای میزان اسیدیته در پی داشت (شکل ۸).

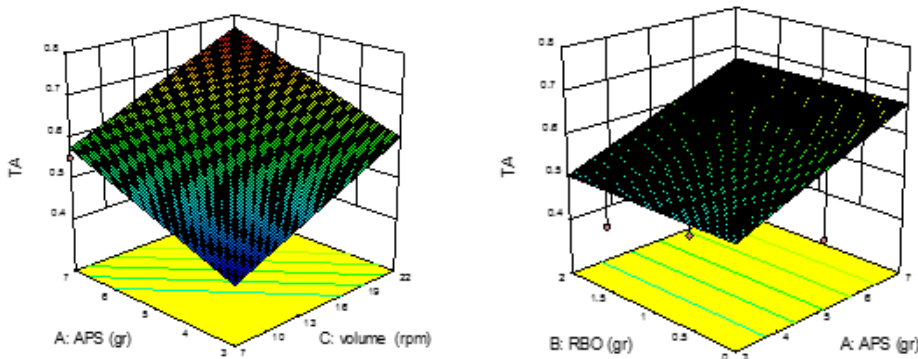
این نتیجه با گزارش داده شده در زمینه پوشش‌دهی کیوی، انگور قزل اوزوم و توت‌فرنگی تازه [۴۲، ۴۱، ۱۹] مطابقت داشت. از طرفی زیاد بودن TSS برای نمونه حاوی پوشش بهینه در اوایل دوره انبارمانی را می‌توان به مواد جامد محلول موجود در پوشش خوراکی نسبت داد.

۳.۶. تأثیر پوشش خوراکی بر میزان TA
میزان اسیدهای قابل تیتراسیون (TA) به رسیدگی میوه بستگی دارد به طوری که با رسیدن آن، میزان اسیدهای آلی



شکل (۷) اثر سطوح مختلف APS، RBO و Volume بر پارامتر TA در هفته دوم نگهداری

Fig 7. The effect of different levels of APS, RBO and Volume on the TA parameter in the Second week of preservation



شکل (۸) اثر سطوح مختلف APS، RBO و Volume بر پارامتر TA در هفته چهارم نگهداری

Fig 8. The effect of different levels of APS, RBO and Volume on the TA parameter in the Fourth week of preservation

در دو هفته پایانی به دلیل رطوبت‌گیری مجدد نمونه از محیط TSS میوه در این دوره کاهش و اسیدیتۀ محصول افزایش یافت. در پژوهشی گزارش شد که میزان اسیدیتۀ در سیب‌های

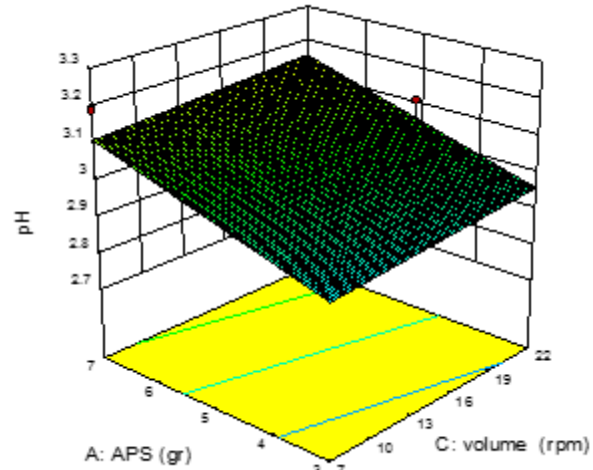
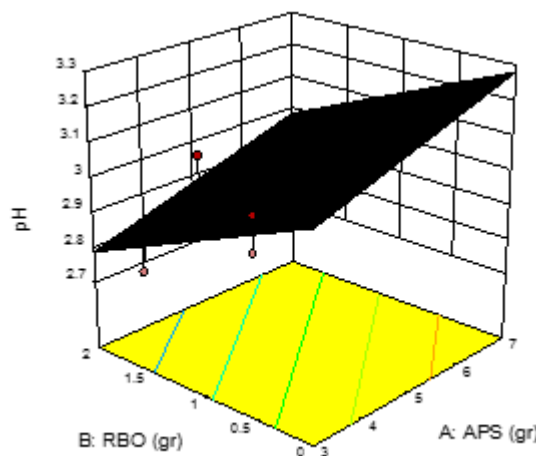
کاهش اسیدیتۀ به علت تجزیه اسیدهای آلی در دوره‌ی سرداخانه گذاری و در بی افت رطوبت رخ می‌دهد و موجب افزایش محتوی قندهای محلول میوه می‌گردد. همین دلیل، کاهش اسیدیتۀ در دوره نخست نگهداری را توجیه می‌کند.

یافت اما میزان دور همگن‌سازی تأثیری بر این پارامتر نداشت (شکل ۹). این افزایش pH به دلیل افزایش محتوای قندی و کاهش اسیدیته انگور می‌باشد. در هفته چهارم نگهداری نمونه‌ها، بیشترین میزان pH در بالاترین سطح از روغن سبوس مصرفی، ۲ gr ارزیابی شد؛ چرا که سبب حفظ هرچه بیش‌تر رطوبت و به تبع مانع افت اسیدیته و افزایش قند میوه می‌گردد. در مقابل بیشینه میزان این پارامتر در ۳ gr ناشسته (کمترین غلظت) محاسبه شد (شکل ۱۰). بحث بالا با نتایج به دست آمده از پژوهش‌هایی در زمینه استفاده از پوشش‌های خوراکی برای محصولات هلو و انگور هم‌خوانی دارد [۴۱، ۴۶].

پوشش داده شده نسبت به نمونه بدون پوشش در پایان دوره‌ی انبارمانی افزایش یافت [۴۳]. این نتایج با گزارش‌های پژوهش‌گرانی در راستای افزایش ماندگاری میوه‌هایی چون کیوی، هلو و زردآلو مطابقت دارد. آن‌ها بیان کردند که در هنگام رسیدن و با افزایش فعالیت‌های متابولیسمی درون محصول، اسیدهای آلی کاهش می‌یابند؛ اما پوشش‌های خوراکی با کاهش روند سرعت تنفس میوه، سبب حفظ هرچه بیش‌تر و بهتر اسیدیته قابل تیتر می‌شوند [۴۴، ۱۹]. [۴۵]

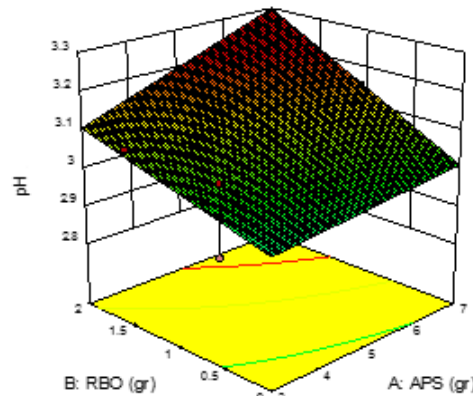
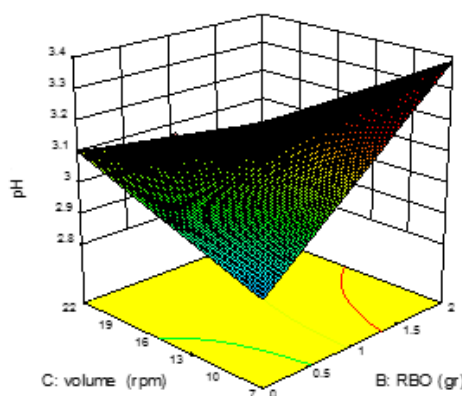
۷.۳. تأثیر پوشش خوراکی بر میزان pH

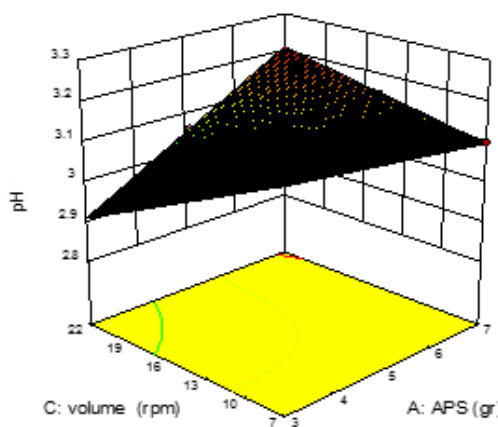
با افزایش APS و pH، RBO به ترتیب افزایش و کاهش



شکل (۹) اثر سطوح مختلف APS، RBO و Volume بر pH پارامتر در هفته دوم نگهداری

Fig 9. The effect of different levels of APS, RBO and Volume on the pH parameter in the Second week of preservation



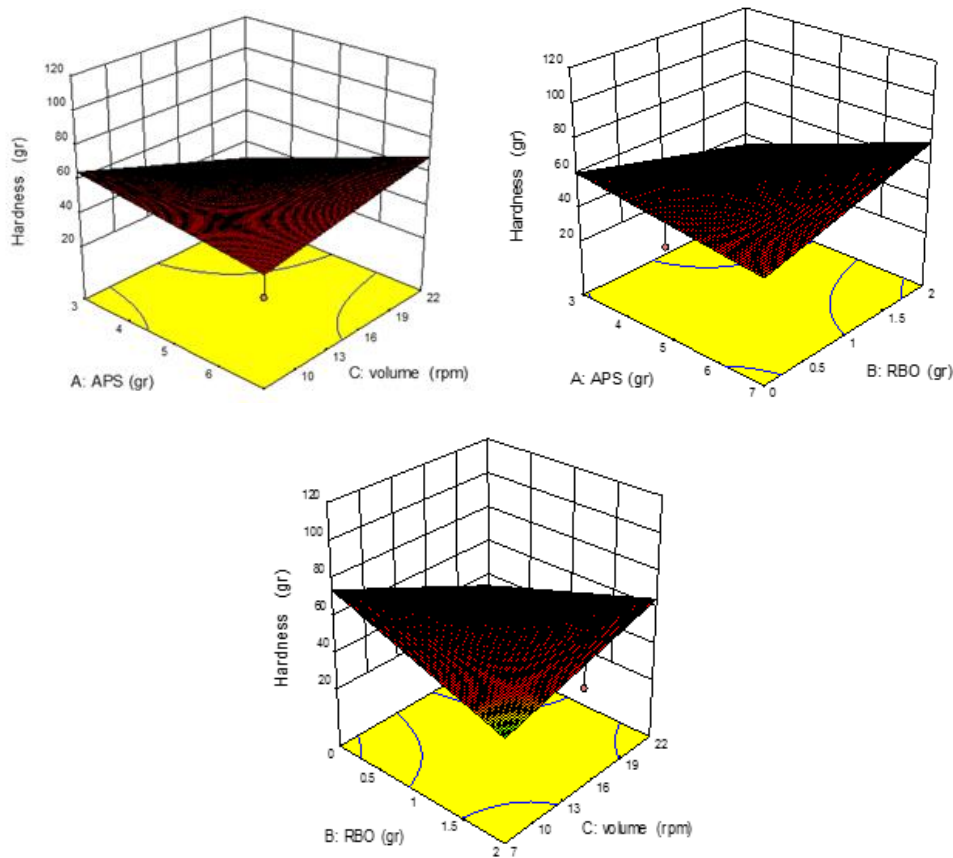


شکل (۱۰) اثر سطوح مختلف pH، APS و Volume بر پارامتر pH در هفته چهارم نگهداری

Fig 10. The effect of different levels of APS, RBO and Volume on the pH parameter in the Fourth week of preservation

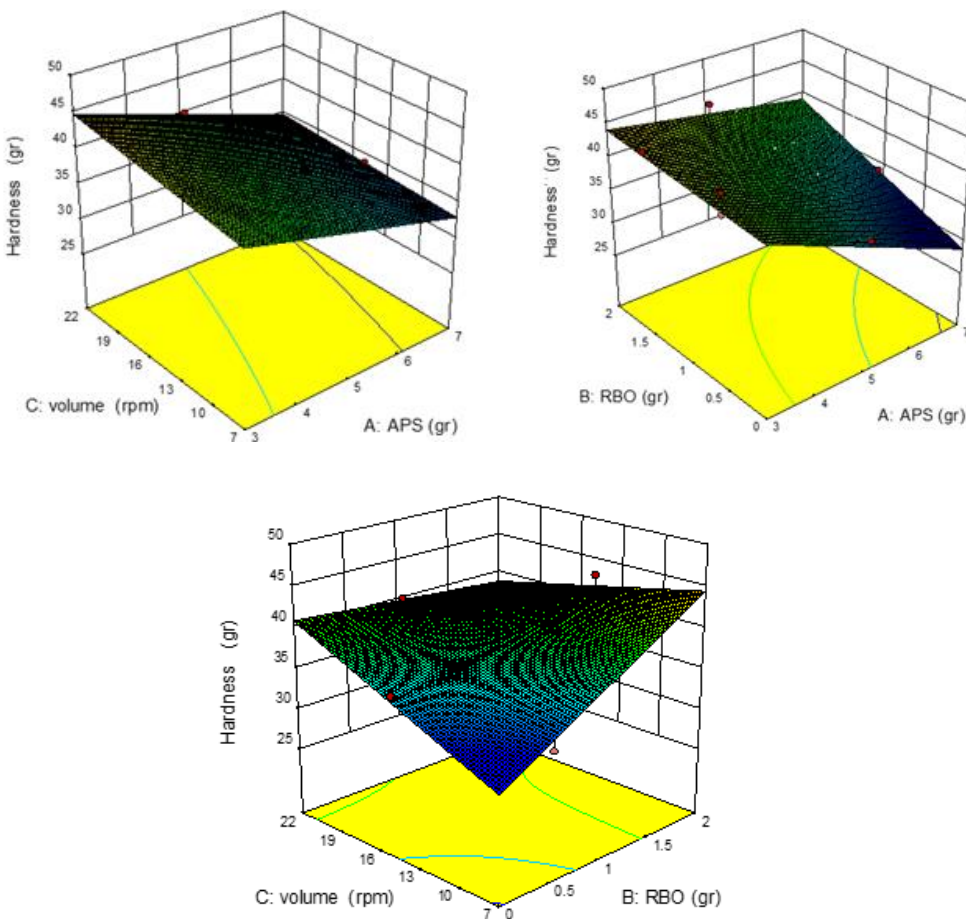
۸.۳ تأثیر پوشش خوارکی بر سفتی بافت
انبارداری انگورهای پوشش داده شده را نمایش می‌دهند.

شکل (۱۱) و (۱۲) به ترتیب تأثیر سطوح مختلف APS، RBO و Volume بر سفتی بافت در هفته دوم و چهارم نگهداری



شکل (۱۱) اثر سطوح مختلف APS، RBO و Volume بر پارامتر سختی در هفته دوم نگهداری

Fig 11. The effect of different levels of APS, RBO and Volume on the Hardness parameter in the Second week of preservation



شکل (۱۲) اثر سطوح مختلف APS، RBO و Volume بر پارامتر سختی در هفته چهارم نگهداری

Fig 12. The effect of different levels of APS, RBO and Volume on the stiffness parameter in the Fourth week of preservation

سرعت همگن‌سازی، ۲۲ rpm و کمترین میزان آن در پایین‌ترین سطوح این دو متغیر به ترتیب ۰ gr و ۷ rpm حاصل شد. این نتایج نشان می‌دهد که نشاسته به دلیل خاصیت آب‌دostی که دارد سبب افت رطوبت میوه نیز شده است. از طرفی روغن سبوس برنج توانسته به خوبی از خروج آب و به تبع افت وزن میوه در طول انبارداری جلوگیری نماید و به استحکام بافت محصول نسبت به نمونه شاهد بیافزاید. نتیجه بالا با گزارش حسنی و همکاران، مبنی بر اینکه میوه با پوشش، بافت سفت‌تری نسبت به میوه بدون پوشش (شاهد) دارد، موافق می‌کند [۱۹].

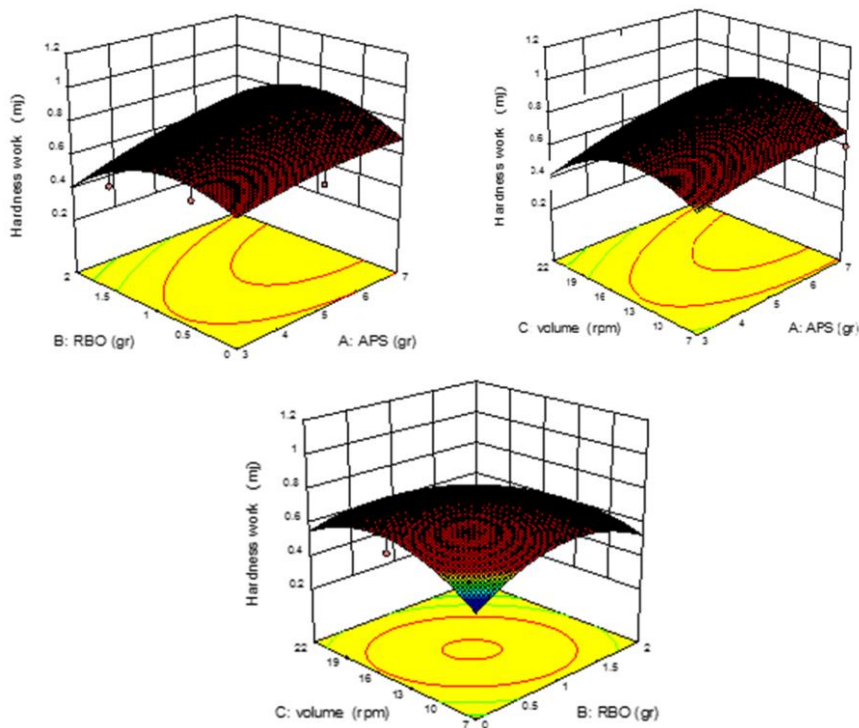
تأثیر پوشش‌ها بر پارامتر کار لازم برای اعمال بیشینه نیرو بر میوه در شکل‌های (۱۳) و (۱۴) (به ترتیب برای هفته دوم و چهارم انبارداری تیمارها) ترسیم شده است. بیشترین مقدار کار mj ۸ در ۵ gr نشاسته سیب‌زمینی، ۱ روغن سبوس

کاهش سفتی بافت میوه وابستگی بسیاری به تبدیل نشاسته به قندهای محلول دارد. حتی انبارداری آن به مدت یک ماه در دمای ۰ °C نیز، سبب کاهش تقریباً نیمی از سفتی محصول می‌گردد [۱۹].

سفتی بافت میوه در دو هفته اول، تغییری نکرد. این نشان می‌دهد که پوشش به خوبی توانسته از خروج رطوبت میوه جلوگیری نماید؛ اما در دو هفته پایانی انبارداری، تغییرات محسوسی در این پارامتر ایجاد شد به طوری که بیشترین کاهش سفتی بافت ۲۷-۳۳ gr در نمونه‌های پوشش داده شده با بیشترین غلظت نشاسته، ۷ gr و کمترین میزان کاهش این پارامتر ۴۳-۴۴ gr در پایین‌ترین سطح از نشاسته، ۳ gr محاسبه شد؛ اما در خصوص متغیرهای RBO و Volume نتایج عکس حاصل شد. بدین شکل که بیشترین سفتی بافت در بیشینه مقدار روغن سبوس برنج، ۲ gr و

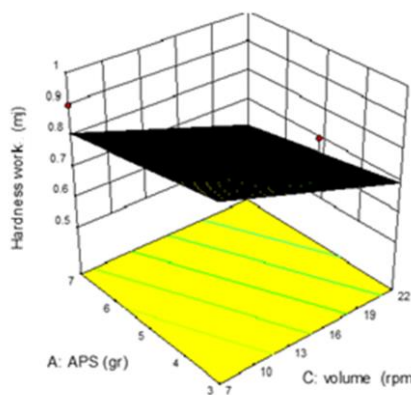
بافت الاسته تر باشد به کار کمتری جهت نفوذ به درون میوه نیاز است که این موضوع بر ادله گفته شده در این مبحث مطابقت دارد. همچنین با افزایش سرعت هموزن کردن به دلیل یکنواخت تر شدن ژل امولسیونی و پخش شوندگی بهتر ترکیبات به ویژه روغن در عامل ژل کننده (نشاسته)، کار سفتی^۱ کاهش یافت.

برنج و ۱۳-۱۶ rpm حاصل شد. اثر مقابل APS و RBO سبب کاهش کار سفتی گردید. در هفته دوم نگهداری نمونه ها، بیشینه کار لازم در بالاترین سطح نشاسته ۷ gr مشاهده شد که با توجه به توضیحات مربوط به پارامتر سفتی، این نتیجه قابل توجیه است (شکل ۱۵). همچنین کمترین و بیشترین کار به ترتیب در ۲ و ۰ gr روغن سبوس برنج؛ ۲۲ rpm و ۷ سرعت همگن سازی به دست آمد. هرچه

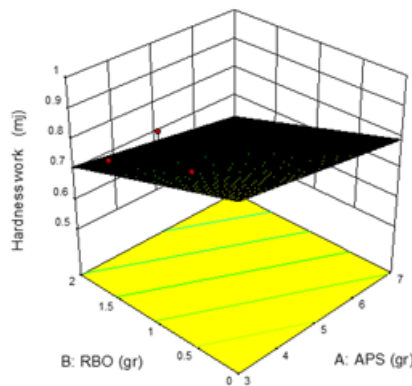


شکل (۱۳) اثر سطوح مختلف APS، RBO و Volume بر پارامتر کار سختی در هفته دوم نگهداری

Fig 13. The effect of different levels of APS, RBO and Volume on the Hardness work parameter in the Second week of preservation



1. Hardness work

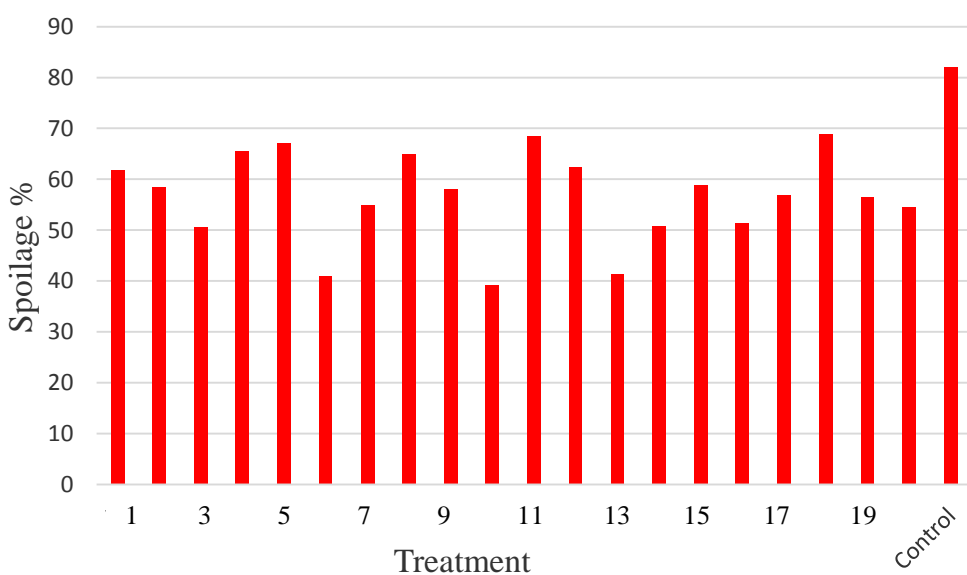


شکل (۱۴) اثر سطوح مختلف APS، RBO و Volume بر پارامتر کار سختی در هفته چهارم نگهداری

Fig 14. The effect of different levels of APS, RBO and Volume on the Hardness work parameter in the Fourth week of preservation

دست آمد (پوشش‌هایی با کمترین سطح از نشاسته و بالاترین غلظت روغن). با افزایش میزان روغن مصرفی در پوشش خوراکی، به دلیل ایجاد حداقل تبادل رطوبت، بخار آب و اکسیژن در سطح میوه، درصد فساد کاهش پیدا کرد. همان‌طور که در شکل (۱۵) قابل ملاحظه است، بیشترین میزان فساد مربوط به نمونه شاهد با ۸۱/۹۶٪ می‌باشد و کمترین درصد فساد به ترتیب در نمونه‌های ۶ و ۱۰ به

۹.۳. تأثیر پوشش خوراکی بر میزان درصد فساد
فساد میوه انگور پوشش داده شده و شاهد در طی مدت نگهداری به صورت کپکزدگی، لهیدگی و ایجاد لکه‌های قهوه‌ای مورد بررسی قرار گرفت. همان‌طور که در شکل (۱۵) قابل ملاحظه است، بیشترین میزان فساد مربوط به نمونه شاهد با ۸۱/۹۶٪ می‌باشد و کمترین درصد فساد به ترتیب در نمونه‌های ۶ و ۱۰ به



شکل (۱۵) مقایسه تغییرات درصد فساد بین نمونه‌های پوشش‌دهی شده و شاهد

Fig 15. Comparison of Spoilage percentage changes between coated and control samples

درصد فساد خوشهای انگور پوشش داده شده با افزایش میزان روغن مصرفی، نسبت به نمونه شاهد (۸۱/۹۶٪ فساد) به طور معناداری کاهش یافت. استفاده از سطوح پایین نشاسته و بیشترین غلظت روغن در ترکیب پوشش خوراکی، سبب حفظ سفتی بافت میوه طی نگهداری شده و از نرم شدن آن جلوگیری کرد. پوشش بهینه در طول دوره‌ی سردخانه گذاری، تأثیر مثبتی بر پارامترهای کیفی انگور نسبت به خوش بودن پوشش داشت به‌گونه‌ای که توانست موجب افزایش اسیدیته و کاهش مواد جامد محلول و pH آن شود.

این نتیجه با گزارش دانش‌نیا در زمینه استفاده از پوشش خوراکی حاوی کیتوزان و آلوئه‌ورا برای افزایش ماندگاری انگور موافق بود به طوری که نشان داد درصد فساد در نمونه شاهد (۳۸/۶۶٪) بیشتر از سایر تیمارها بود [۲۶]. پژوهش‌های که در زمینه کاربرد پوشش خوراکی برای افزایش ماندگاری پس از برداشت میوه‌هایی چون انگور صورت گرفته است با نتایج بالا تطابق دارند. گزارش‌ها حاکی از آن است که در نمونه پوشش دهی شده به علت تنفس کمتر، روند تخریب به تعویق افتاد و ماندگاری محصول افزایش پیدا کرد [۴۷، ۳۵].

تشکر و قدردانی

با سپاس فراوان از گروه علوم و صنایع غذایی دانشکده کشاورزی دانشگاه فردوسی مشهد به ویژه استاد راهنمای و مشاور محترم بنده، دکتر مسعود تقی‌زاده و دکتر مسعود یاورمنش که در انجام این پژوهه بنده را همراهی کردند. همچنین از کارشناسان آزمایشگاه‌های فناوری‌های نوین، بیوتکنولوژی مولکولی، مهندسی غذایی، بیوفیزیک و فرمولاسیون کمال تشکر را دارم که امکانات و لوازم مورد نیاز در پژوهش اینجانب را فراهم نموده و بنده را در این راه راهنمایی کردند.

۴. نتیجه‌گیری

امروزه پوشش‌های خوراکی به دلیل بهره‌گیری از مواد زیست تخریب‌پذیر، قابل بازیافت و خوراکی در تولید آن‌ها، به جایگزینی مناسب و مفید برای فیلم‌ها و پوشش‌های سنتزی تبدیل شده‌اند. بهینه‌یابی تولید پوشش نشان داد که تمام متغیرهای مستقل اثر خود را بر افت وزن خوشهای انگور پوشش داده شده، پایداری و a_{w} ژل امولسیونی به تنهایی یا به صورت اثر متقابل اعمال کردند. بهره‌گیری از ترکیب ۲٪ روغن سبوس برنج، ۵۷/۶٪ نشاسته سیب‌زمینی استیله شده و سرعت هم‌زدن ۷ rpm به عنوان بهترین تیمار انتخاب شد چرا که منجر به ایجاد پوششی با بیشترین پایداری و کمترین a_{w} و افت وزن گردید. میزان افت وزن و

منابع

- [1] Jafarizadeh, E., Ibrahimzadeh, Sh., & Energjan, N. (2004). Tomato coated with edible coatings based on whey powder. In: Proceeding of the 9th Int. Cong. of Chem Engin. [In Persian]
- [2] Krochta, J.M., & Mulder-Johnston de, C. (1997a). Oxygen and aroma barrier properties of edible films: A review. *Food Sci Technol.*, 8, 228.
- [3] Krochta, J. M., & Mulder-Johnston de, C. (1997b). Edible and biodegradable polymer films: Challenges and opportunities. *Food Sci Technol.*, 51, 61-77.
- [4] Dugan, M., Kayacier, A., & IC, E. (2007). Rheological characteristics of some food hydrocolloids processed with Gamma irradiation. *Food Hydrocoll.*, 21(3), 392-396.
- [5] Luallen, T. E. (1985). Starch as a functional ingredient. *Food Technol.*, 39: 59-63.
- [6] Rogols, S. (1986). Starch modifications: A view into the future. *Cereal Foods World.*, 31, 869-874.
- [7] Luallen, T. E. (1988). Structure, characteristics and uses of some typical carbohydrate food ingredients. *Cereal Foods World.*, 33, 924-927.
- [8] Schierbaum, F., & Kettlitz, B. (1994). Studies on rye starch properties and modification. Viscograph pasting characteristics of rye starches. *Starch.*, 46, 2-8.
- [9] Fringant, C., Rinaudo, M., Foray, M. F., & Bardet, M. (1998). Preparation of mixed esters of starch or use of an external plasticizer: two different ways to change the properties of starch acetate films. *Carbohydr Polym.*, 35, 97-106.
- [10] Chen, M. H., & Bergman, C. J. (2005). Influence of kernel maturity, milling degree and milling quality

- on rice bran phytochemical concentration. *Cereal Chem.*, 82, 4-8.
- [11] Blennow, A., Bay-Smidt, A. M., Leonhardt, P., Bandholm, O., & Madsen, H. M. (2003). Starch paste stickiness is a relevant native starch selection criterion for wet-end paper manufacturing. *Starch.*, 55, 381-389.
- [12] Adebawalea, K. O., Olu-Owolabi, B. I., Olayinkaa, O. O., & Lawalb, O. S. (2005). Effect of heat moisture treatment and annealing on physicochemical properties of red Sorghum starch. *Biotechnol.*, 4(9), 928-933.
- [13] Basiak, E., Lenart, A. & Debeaufort, F. (2017). Effect of starch type on the physico-chemical properties of edible films. *Int J Biol Macromol.*, S0141-8130, 16, 31643-9.
- [14] Marí'a, A., Garcí'a, M. N., Martino & Noemi', E. Zaritzky. (1998). Plasticized Starch-Based Coatings To Improve Strawberry (*Fragaria Ananassa*) Quality and Stability. *J. Agric. Food Chem.*, 46, 3758-3767.
- [15] Farayde M., F., Silvia Maria, M., Thiago, C., José Ignacio, V., & Lucia Helena, I.M. (2015). Edible films and coatings based on starch/gelatin: Film properties and effect of coatings on quality of refrigerated Red Crimson grapes. *Post-harvest Biol and Technol.*, 109, 57-64.
- [16] Kester, J. J., & Fennema, O. R. (1986). Edible films and coatings: A review. *Food Technol.*, 42, 47-59.
- [17] Narasinga Rao, B.S. (2012). Nutritive Value of Rice Bran. *Nutr Found of India*, New Delhi 110 016.
- [18] Amarasinghe, B. M. W. P. K., & Gangodavilage, N. C. (2004). Rice brane oil extraction in Sri Lanka Data for process equipment design. *Food and Bioprod Process.*, 82, 54-59.
- [19] Hassani, F., Javanmard, M., & Grossiy, F. (2010). Evaluation of shelf-life of Kiwi fruit coated with whey protein concentrate and rice bran oil. *Food Sci and Technol Res.*, 167-158. [In Persian]
- [20] Lifen, Z., Fusheng, C., Penglong, Z., Shaojuan, L. & Hongshun, Y. (2016). Influence of Rice Bran Wax Coating on the Physicochemical Properties and Pectin Nanostructure of Cherry Tomatoes. *Food Bioprocess Technol.*
- [21] Nourbehesht, N. (2017). Production and evaluation of low fat Sausages using emulsion gel based on Inulin and rice bran oil. Isfahan: University of Technology, Department of Food Sci and Technol. [In Persian]
- [22] Tournas, V.H., & Katsoudas, E. (2005). Mold and yeast flora in fresh berries Grapes and citrus fruits. *Food Microb.*, 105, 11-17.
- [23] Mostofi, Y., Dehestani-Ardekani, M., & Razavi, H. (2011). The Effect of chitosan on post-harvest life increase and qualitative characteristics of Grape cultivar *shahroudi*. *Food Sci Technol.*, 93-102. [In Persian]
- [24] Riku, A., Talja, H., Hele'n, Y.H., & Roos-Jouppila, K. (2007). Effect of various polyols and polyol contents on physical and mechanical properties of potato starch based films. *Carbohydr Polym.*, 67, 288-295.
- [25] Shaw, N. B., Monahan, F. J., Ó Riordam, E. D., & Ó Sullivan, M. (2002). Effect of Soya oil and glycerol on physical properties of composite WPI film. *Food Eng.*, 51(4), 299-304.
- [26] Daneshnia, R. (2015). The effect of Chitosan and Aloe-vera gel edible coating to prevent mold growth and preservation the quality of the Grape. Gorgan: University of Science and Agriculture. *Food Technol.* [In Persian]
- [27] Baliga, B., & Madaiah, N. (1970). Quality of Sausage emulsion prepared from mutton. *Food Sci.*, 35, 383-385.
- [28] Iranian National standard. (1992). Fruit and vegetable products- Determination of acidity- Test method. *Iranian Institute of Standards and Industrial Research (First ed.)*, pp. 373. [In Persian]
- [29] Prvaneh. V. (2010). *Food quality control and chemical testing (6th ed)*. Tehran University Publisher. [In Persian]
- [30] Shahkoomally, S., & Ramezanian, A. (2014). Effect of natural Aloe-vera gel coating combined with Calcium chloride and Citric acid treatments on Grape (*Vitis vinifera L. Cv. Asgari*) quality during Storage. *Food Sci and Technol.*, 1, 1-5. [In Persian]
- [31] Benzie, I.F., & Strain, J.J. (1996). The ferric reducing ability of plasma (FRAP) as a measure of antioxidant power: The FRAP assay. *Anal Biochem.*, 239, 70-76.
- [32] Abdullahi, A. (2008). The effect of three herbal essential oils on the control of fungal diseases post-harvest of two Grape varieties. Urmia: University of Hortic. [In Persian]
- [33] Sato, A., Yamanez, H., Hirakawa, N., Otobe, K., & Yamada, M. (1997). Varietal differences in the texture of Grape berries measured by penetration tests. *Vitis.*, 36 (1), 7-10.
- [34] Razavi, M.A., & Akbari, R. (2014). *Biophysical properties of agricultural and food products (5th ed)*. Ferdowsi University of Mashhad. [In Persian]
- [35] Gao, P., Zhu, Z., & Zhang, P. (2013). Effects of Chitosan-Glucose complex coating on post-harvest quality and shelf -life of table Grapes. *Carbohydr Polym.*, 95(1), 371-378.
- [36] Guilbert, S. (1986). Technology and application of edible protective films. *Food Packaging and Preservation: Elsevier Applied Sci Publishing.*, pp. 371-394.

- [37] Jutamongkon, R., Praditdoung, S., & Vananuvat, N. (2011). Effect of rice bran waxing on fruit and vegetable storage. *Nat Sci.*, 45, 1115-1126.
- [38] Huang, X., Kakodaand, Y., & Gui, W. (2001). Hydrocolloid in emulsions particle size distribution and interfacial activity. *Food Hydrocoll.*, 15, 533-542.
- [39] Slavutsky, M.A., & Bertuzzi, A.M. (2015). Formulation and characterization of Nanolaminated starch based film. *Food Sci Technol.*, 61, 407-13.
- [40] Garcia, M.A., Martino, M.N., & Zaritzky, N.E. (2000). Lipid addition to improve barrier properties of edible starch based films and coatings. *Food Sci.*, 65(6), 7-941.
- [41] Asghari, M., & Ahadi, L. (2012). The effect of application post-harvest Salicylic acid and Aloe-vera gel on the qualitative characteristics and antioxidant activity of Uzum red Grape cultivar. *HorticSci, Agric Sci and Ind.*, 3, 342-349. [In Persian]
- [42] Emamifar, A. (2014). Evaluation the effect of Aloe-vera gel as an edible coating on the microbial, physicochemical and sensory characteristics of fresh Strawberries during storage. *Food Sci and Technol.*, 2nd Year, 6, pp. 15-29. [In Persian]
- [43] Taghizadeh, A. (2012). Optimizing the formulation of active polysaccharide coatings to increase the shelf-life of full and freshly sliced Apples by the surface response method. University of Tabriz, Aras Int Campus. [In Persian]
- [44] Galvis-Sanchez, A. C., Fonseca, S. C., Morais, A. M., & Malcata, F. X. (2003). Physicochemical and sensory evaluation of „Rocha” Pear following controlled atmosphere storage. *Food Sci.*, 68, 318-327.
- [45] Gerossi, F., Javanmard, M., & Hassani, F. (2009). Application of edible coating based on whey protein and Gellan gum for Apricot fruit. Islamic Azad University, Department of Food Ind. *Food Sci and TechnoL.*, 8, 29. [In Persian]
- [46] Ochoa-Velasco, C. E., & Guerrero-Beltran, J. A. (2014). Post-harvest quality of peeled prickly Pear fruit treated with Acetic acid and Chitosan. *Post-harvest Biol and Technol.*, 92, 139-145.
- [47] Eshghi, S., Hashemi, M., Mohammadi, A., Badiei, F., Mohammad Hosseini, Z., Ahmadi Soomeh, K., & Qanati, K. (2012). *Nutr Sci and Food Ind.*, 2, 9-19. [In Persian]

Research Article**Optimization of edible coating based on modified potato starch and rice bran oil and evaluation of its effect on grape's shelf life (Asgari specie)**

Azin Omid Jeivan¹, Masoud Taghizadeh^{2*}, Masoud Yavarmanesh³

- 1. M.Sc Student Department of Food Science and Technology, Faculty of Agriculture, Ferdowsi University of Mashhad, Mashhad**
- 2. Associate Professor, Department of Food Science and Technology, Faculty of Agriculture, Ferdowsi University of Mashhad, Mashhad**
- 3. Associate Professor, Department of Food Science and Technology, Faculty of Agriculture, Ferdowsi University of Mashhad, Mashhad**

Abstract

The use of edible coatings is a way to preserve fruits and agricultural products. Edible coatings by reducing the respiration rate of fruits, significantly, to increase their shelf life and to reduce the amount of waste. The aim of this study is to optimize the production of edible coating for long-term storage of "grapes" (Asgari species due to high corruption and abundance) by response surface method (RSM). Different concentrations of acetylated potato starch (3, 5 and 7 gr) and rice bran oil (zero, 0.5, 1, 1.5 and 2 gr) were used to produce coatings. All samples were homogenized at different velocities of Ultra-thorax (7, 14.5 and 22 rpm). The fruit's weight loss, Coating's stability and a_w parameters were considered as experimental design responses (optimal custom). Treatments (20 samples in 2 replications) were stored in refrigerated with 4 °C temperature and 70 % humidity for 28 days. Grape's quality parameters included TSS, TA, pH, and weight loss were studied every 2 weeks. Also the amount of moldy berries was calculated at the end of the storage period. Developed models for emulsion gel's stability and a_w predicted that using 2 % rice bran oil, 6.57 % acetylated potato starch and 7 rpm homogenization rate, led to the formation of coating with the highest stability (93.6%) and the lowest a_w (0.77).

Keyword: Optimization, Edible coating, Potato Starch, Rice Bran Oil, Weight loss, Grape.

* Corresponding author: mtaghizadeh@um.ac.ir